



## بررسی (فساره‌ها) و محیط (رسوبی) سازند ساچون در برش کوه سیاه

### جنوب خاور سروستان (استان فارس)

یحقوب لاسمی<sup>۱</sup>، مسیح افقه<sup>۲</sup>، سولماز ارزاقی<sup>۳\*</sup>

(۱) گروه زمین‌شناسی دانشگاه تربیت معلم ylasemi@yahoo.com

(۲) گروه زمین‌شناسی دانشگاه آزاد اسلامی واحد شیراز massihafg2002@yahoo.com

(۳) گروه زمین‌شناسی دانشگاه آزاد اسلامی واحد علوم و تحقیقات تهران solmazaa@yahoo.com

\*عهده‌دار مکاتبات

#### مکاره

سازند ساچون در برش سروستان، با ۴۷۲ مترستبر، درین سازندهای تاربور و جهرم جای دارد. مرز بالایی آن با سازند جهرم هم‌شیب و ناگهانی و مرز پایینی آن با سازند تاربور نایپوسته است. این سازند به طور عمده در برگیرنده‌ی رخساره‌های شیل - مارن، تبخیری و کربناته است. این رخساره‌ها به صورت چرخه‌های رسوبی کوچک مقیاس روبه‌بالا و کم‌ژرفashونده دیده می‌شوند. رخساره‌های سازند ساچون در چهار کمر بند رخساره‌ای پهنه‌ی بالاتر از مد، پهنه‌ی بن جزرومد، تالاب و سد کربناته وابسته به یک پانתרم رمپ نهشته شده‌اند. رسوبات سازند ساچون در زمان پایین‌ترین افت نسبی سطح آب دریا، بعد از فعالیت کوه‌زایی لارامید، نهشته شده‌اند. برخلاف آنچه که پیش از این یافان شده است، تهنشست رسوبات سازند ساچون در پالغوسن آغاز شده است.

**واژه‌های کلیدی:** پهنه بالاتر از مد، پهنه بن جزرومد، تالاب، ساچون، سروستان، کربنات.

## Facies analysis and sedimentary environments of Sachun Formation in Kuh-e-Siah section, southeast of Sarvestan (Fars Province)

Y. Lasemi<sup>1</sup>, M. Afghah<sup>2</sup> & S. Arzaghi<sup>3</sup>

1) Department of Geology, Teacher Training University, Tehran, I.R.Iran

2) Department of Geology, Islamic Azad University, Shiraz Branch, Shiraz, I. R. Iran

3) Department of Geology, Sciences & Research branch, Islamic Azad University, Tehran, I. R. Iran

#### Abstract

The Sachun Formation in the Sarvestan section (472 meters) is sandwiched between the Tarbur and Jahrom Formations. Its upper contact with the overlying Jahrom Formation is conformable, but its lower boundary with the underlying Tarbur Formation is unconformable. The formation consists mainly of evaporite, shale/marl and carbonates that are arranged into a number of shallowing upward cycles. Facies of the Sachun Formation were deposited in 4 facies belts (supratidal, intertidal, lagoon and barrier facies belts) related to a ramp platform. The Sachun Formation was deposited during a sea level low stand that occurred after Laramid Orogeny. Therefore, in contrast to previous beliefs, its deposition started in Early Paleocene times.

**Key words:** Carbonate, intertidal, lagoon, Sachun, Supratidal, Sarvestan.

## ۱- مقدمه

الگوی سازند ساچون در کوه ساچون در ۲۵ کیلومتری جنوب شهرستان داراب معرفی شده است (James & Wynd 1965). همچنین لیتلوزی و فسیل‌شناسی سازند ساچون در چاه شماره ۱ سروستان مورد مطالعه قرار گرفت (Kalantari 1976). رخساره‌ها و محیط رسوبی سازند ساچون تاکنون مطالعه نشده است. هدف از این مطالعه شناسایی رخساره‌ها و تفسیر محیط رسوبی سازند ساچون در پوش کوه سیاه است. پوش مورد مطالعه در ۹۲ کیلومتری جنوب خاور شیراز در ناحیه‌ای به نام کوه سیاه (۱۵ کیلومتری جنوب خاور شهر سروستان) قرار دارد و از طریق راه اصلی شیراز- فسا پس از پیمودن ۱۵ کیلومتر از شهر سروستان قابل دسترسی است (تصویر ۲).



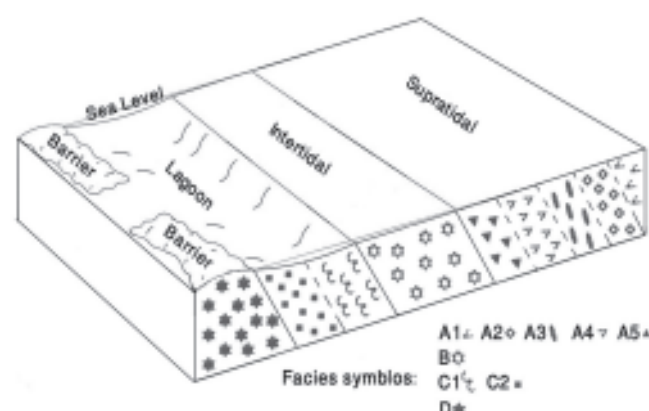
تصویر ۱- نمای کلی رخمنون سازند ساچون در پوش کوه سیاه سروستان (دید به سمت شمال باخته)

## ۲- بحث

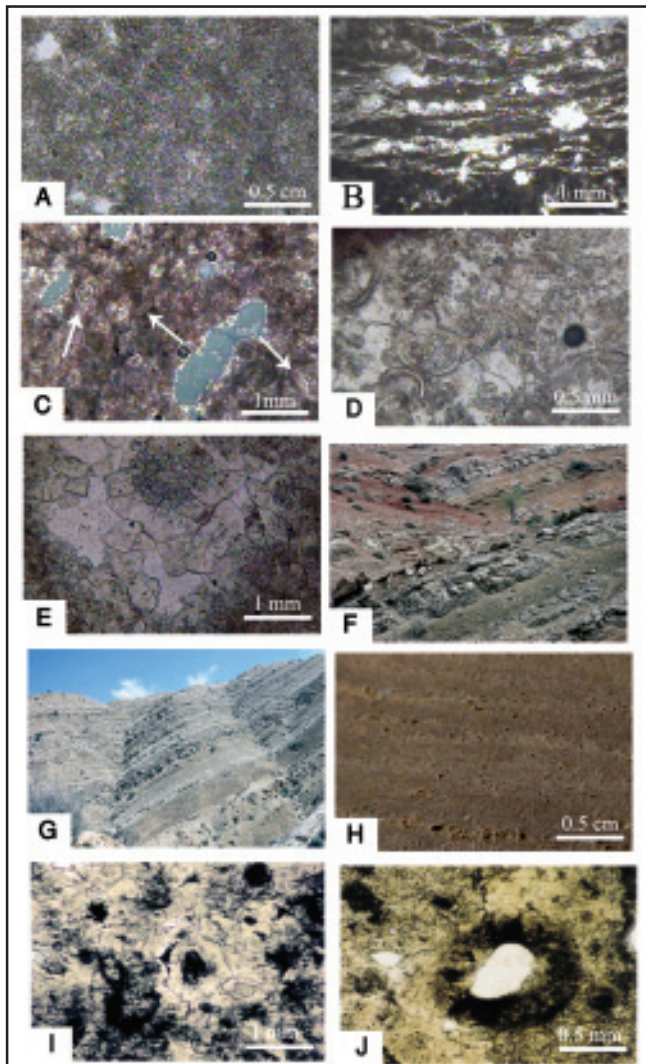
بررسی‌های صحرایی و میکروسکوپی نشان می‌دهد که رسوبات سازند ساچون در پوش سروستان در کمربندی‌های رخساره‌ای بالای مد (رخساره‌های A)، بین جزو و مدی (رخساره‌ی B)، تالاب (رخساره‌های C) و سلی (رخساره‌ی D) نهشته شده‌اند (تصویر ۳). نامگذاری رخساره‌ها وارائی مدل رسوبی برپایه مطالعات صحرایی و میکروسکوپی و پژوهش کاروزی ولاسمی و کاروزی (Carozzi 1981, Lasemi & Carozzi 1989) انجام شد. رخساره‌های بالای مد در برگزینندگی رخساره‌ای ندرت باساخت توری لانه مرغی (A1)، اندیریت- ژپس با ساخت لایه‌بندی پیچیده (A2)، اندیریت- ژپس لایه‌ای (A3)، دولوماداستون حاوی قالب کانی‌های تبخیری و فابریک فنسترا (A4) و شیل- مارن‌های قرمزنگ با ساخت لایه‌های تبخیری (A5) است. رخساره‌ی بین جزو و مد در برگزینندگی رخساره‌ای بانداستون استروماتولیتی دولومیتی دارای قالب کانی‌های تبخیری (B) و رخساره‌های تالاب در برگزینندگی رخساره‌ی وکستون- پکستون پلتی بیوکلاستی دولومیتی (C1) و رخساره‌ی شیل- مارن (C2) است. در کمربند سده رخساره‌ی پکستون- گرین استون پلوبیددار ائیدی دولومیتی (D) شناسایی شده است. در رخساره‌ی A1 ندول‌های اندیریت در زمینه‌ای از رسوبات میزان کربناته و یا شیل- مارن دیده می‌شوند (تصویر A4). در رخساره‌ی A2 لایه‌های بسیار ریز ژپس- اندیریت با میان لامینه‌های شیل- مارن یا دولومیت با لایه‌بندی پیچیده (تصویر B4) و بلورهای ژپس سلنیتی با ماکل دم چلچله‌ای دیده می‌شوند (تصویرهای D4 و C4). رخساره‌ی A3 از اندیریت- ژپس لایه‌ای در تناوب باشیل- مارن خاکستری رنگ تشکیل شده است (تصویر E4). رخساره‌ی A4 دارای قالب کانی‌های تبخیری و



تصویر ۲- راه دسترسی به پوش مورد مطالعه



تصویر ۳- مدل رسوبی پیشنهادی سازند ساچون



تصویر ۴: A- ندولهای انیدریت در زمینه‌ای از مارن-شیل (رخساره‌ی: A1)-B- انیدریت- ژیپس باساخت انتروپلیتیک در نمونه‌ی دستی (رخساره‌ی A2): C- بلورهای ژیپس سلتیتی با ماکل دم چلچله‌ای (نور پالاریزه، رخساره‌ی A2، نمونه‌ی شماره‌ی ۲)، نمونه‌ی شماره‌ی ۳: D- بلورهای ریزو و سوزنی انیدریت (نور پالاریزه، رخساره‌ی A2، نمونه‌ی شماره‌ی ۵): E- ژیپس‌های انیدریت بامیان لایه‌ها و میان لامینه‌های شیل- مارن (رخساره‌ی A3)- F: دولومیت با فابریک فنستراال در نمونه‌ی دستی (رخساره‌ی A4): G: توالی روبه بالا ریزشونده‌ی رسوبات کربناته (دولومیت) در ریزپرکه به رسوبات مارن- شیل در بالا تبدیل می‌شود (رخساره‌ی A4): H- مارن- شیل‌های قرمزنگ با بین لایه‌هایی از رسوبات تبخیری ژیپس- انیدریت (رخساره‌ی A5)- I: قالب کانی‌های تبخیری ژیپس که با کلسیت پرشده است و فابریک فنستراال (نور پالاریزه، رخساره‌ی A4، نمونه‌ی شماره‌ی ۷)- J: قالب کانی‌های تبخیری که با سیلیس پرشده است (نور پالاریزه، رخساره‌ی A4، نمونه‌ی شماره‌ی ۱۱): K: قالب کانی‌های تبخیری در نمونه‌ی دستی (رخساره‌ی A4، نمونه‌ی شماره‌ی ۲)- L: تخلخل قالبی ناشی از انحلال کانی‌های تبخیری ژیپس- انیدریت به همراه تخلخل فنستراال در مقطع میکروسکوپی، نور طبیعی) (رخساره‌ی A4، نمونه‌ی شماره‌ی ۲)

فابریک فنستراال در یک خمیره‌ی دولومیت میکریتی لامینه‌دار است (تصویر F۴). توالی روبه بالا ریزشونده‌ی رسوبات کربناته (دولومیت) در زیر که به رسوبات مارن- شیل در بالا تبدیل می‌شود، نیز در این رخساره مشاهده می‌شود (تصویر ۴G). در رخساره‌ی A5 شیل- مارن قرمزنگ با بین لایه‌های رسوبات تبخیری انیدریت- ژیپس مشاهده می‌شوند (تصویر ۴H). ستبرای شیل- مارن قرمزنگ از ۱۵ متر تا ۲۰ متر و ستبرای رسوبات تبخیری از ۰/۵ سانتی‌متر تا ۱۵ سانتی‌متر تغییر می‌کند. فابریک چشم پرنده‌ای، قالب کانی‌های تبخیری (تصویرهای L۴، K۴ و I۴)، فابریک لامینه‌ای، دولومیت‌های ریزبلور (تصویر ۵A)، ندولهای انیدریت با ساخت توری لانه مرغی و تبخیری‌های لایه نشان می‌دهند که ۱۹۹۵، Flügel ۲۰۰۴)، ۱۹۹۰، Sellwood ۱۹۹۱، Lasemi ۱۹۹۵، Demicco & Hardie ۱۹۸۴، Warren ۱۹۸۹، Lasemi et al. ۱۹۸۹، Tucker & Wright ۱۹۸۳، ۱۹۶۸، Kendall ۱۹۸۳، ۱۹۶۸، Shinn ۱۹۸۳، ۱۹۶۸، استروماتولیتی دارای قالب کانی‌های تبخیری است. این رخساره از لامینه‌های کرم- خاکستری تشکیل شده است. لامینه‌ها کمتر از یک میلی‌متر ستبرادراند و به گونه‌ی موج دار و نامنظم هستند (تصویر ۵B). لامینه‌ها در رخساره‌ی B نشان‌دهنده تناوب فرآیندهای رسوب‌گذاری و عملکرد میکروبی (پوشش‌های جلبک‌های سبز- آبی) می‌باشند. استروماتولیت با دولومیت ریز بلور به همراه قالب کانی‌های تبخیری در محیط‌های بسیار شورین جزر و مد (اسمی ۱۳۷۰، مهاری ۱۳۷۰، لاسمی و مهاری ۱۳۷۲ et al. ۲۰۰۶، Lasemi ۱۹۹۵، Shinn ۱۹۸۳، Logan ۱۹۸۷ et al. ۲۰۰۶، Mastandrea ۱۹۸۶) و یا سابتایdal (Dill et al. ۱۹۸۶) به وجود می‌آیند. رخساره‌ی C1 بارنگ کرم- خاکستری و در مقطع میکروسکوپی بلورهای دولومیت ریز تادرست با فسیل‌های فرامینیفر با استراکتد و پلولئید دیده شده است (تصویرهای ۵E، ۵D و ۵C). ستبرای لایه‌ها بین ۳۰ تا ۴۰ سانتی‌متر است. این رخساره به گونه‌ی بین لایه‌ای با رخساره‌های شیل- مارن خاکستری، سبز و کرم رنگ در بخش آرام تالاب نهشته شده‌اند و با رخساره‌ی شیل- مارن قرمزنگ (محیط بالای مد) پوشیده شده است. رخساره‌ی C2 نازک لایه تاستبر لایه است و به رنگ‌های خاکستری، سبز و یا کرم دیده می‌شود. این رخساره در توالی عمودی در تناوب با رخساره‌ی آهکی C1 دیده شده است (تصویرهای ۵F و ۵G). دولومیت متواست تا درشت بلور، بودن شبیه آلوکم‌ها (ائید یا فسیل، استراکد فراوان و فرامینیفر بنتیک همراه پلت در زمینه دولومیتی و نبودن نشانه‌های خروج از آب نشان‌دهنده پدید آمدن رخساره‌های C در آبهای کم ژرف با شوری بالا هستند (Evans ۱۹۷۳ & Purser ۱۹۹۰، Tucker & Wright ۱۹۹۰). رخساره‌ی D به رنگ کرم- خاکستری دیده می‌شود و دارای فابریک لامینه‌ای است (تصویر ۵H). ستبرای لایه‌ها ۳۰ تا ۴۰ سانتی‌متر است. در مقاطع میکروسکوپی اثید، پلولئید و اینترکلس دیده شده است (تصویر ۵I). اثیدها از بلورهای درشت

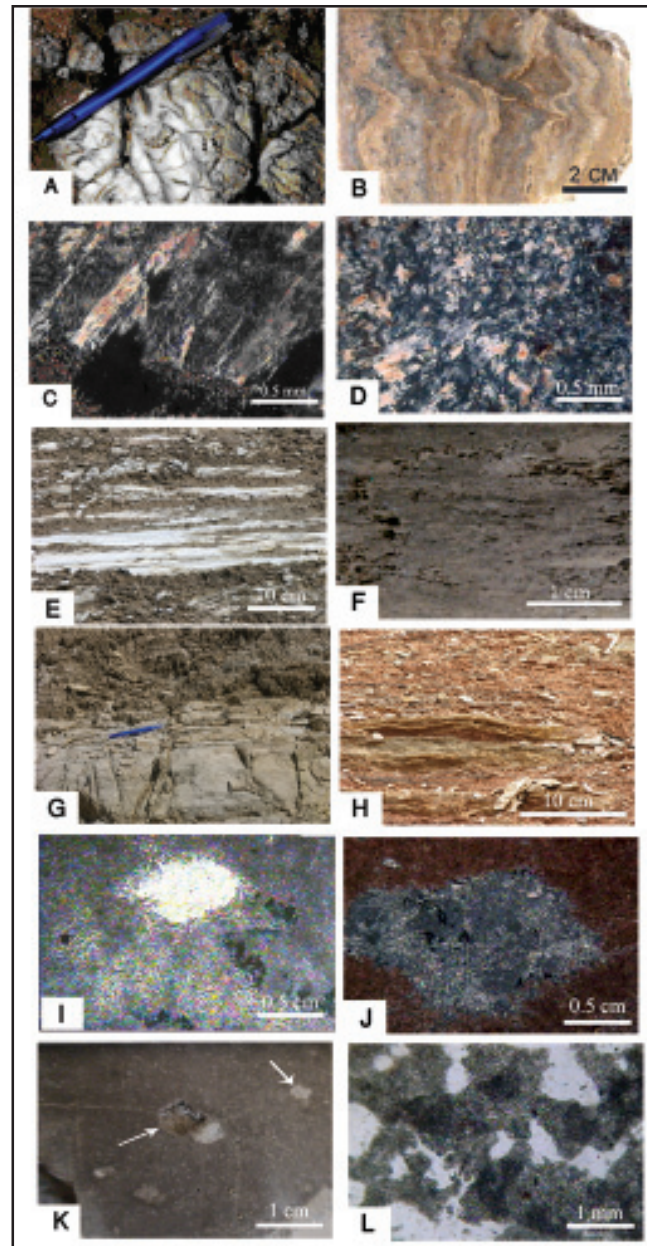
ساخته شده‌اند. از بین رفتن ساختمان داخلی اثیدها (تصویر ۵) در رخساره‌ی D نشان‌دهنده‌ی کانی اوئلیه‌ی آرگونیت در آنهاست (Sandberg 1983) که در هنگام پایین بودن سطح نسبی آب دریاها تشکیل شده‌اند. در زمان پالئوسن سطح آب دریاها همسان دریاهای امروزی پایین بوده است (Haq et al. 1988, Vail et al. 1977). اثید و اینتراکلست به طور معمول در محیط بالاتر از ژرفای پایه‌ی موج در محیط سلطنتی پدید 1995, Burchette et al. 1990, Purser & Evans 1973).

(Wright & Burchette 1996, Lasemi macroporous فسیل‌های شاخص ماستریشتین مانند *Luftusia Omphalocyloides* و خردکهای رو دیست در برخی مطالعات پیشین سازند ساچون مشاهده شده است (James & Wynd 1965, Kalantari 1976, سید امامی ۱۳۵۱، حسینی مرندی ۱۳۷۳)، اما مطالعات افقه و خرسوتهرانی (۱۳۸۳) بر روی سازند تاربور در ۴ برش سروستان، گندشتلو، زرقان و خرامه (۳) رسوب‌گذاری سازند ساچون را به زمان پالئوسن نسبت می‌دهد. مدل رسوبی سازند ساچون در ناحیه‌ی مورد مطالعه بر پایه‌ی تغییر عمودی چرخه‌های رسوبی کوچک مقیاس، قانون والتر (Walther 1893)، مقایسه با محیط‌های رسوبی امروزی مانند رسوبات خلیج فارس (Walther 1893, Tucker & Wright 1990) و قدیمی مانند رسوبات سازند سشن‌شناين (Zechstein) (با سن پرمین 1989, Clark & Talbaka 1980, Schlager & Bolz 1977) انجام شد. در این مدل رخساره‌های A به محیط رسوبی سبخی ساحلی، رخساره‌ی B به محیط بین جز و مد، رخساره‌های C به محیط تالاب و رخساره‌ی D به محیط سد کربناته وابسته‌اند. این رخساره‌ها در یک پلاتفرم کربناته‌ی رمپ، مانند خلیج فارس امروزی (در سوی شمال خاور حوضه رسوبی) نهشته شده‌اند. در ناحیه‌ی مورد مطالعه رخساره‌های سازند ساچون از چندین چرخه‌ی رسوبی ساخته شده‌اند. چرخه‌های رسوبی از روی هم قرار گیری رخساره‌های مطالعه شده، پدید آمده‌اند (تصویر ۶). در برش کوه سیاه سروستان، در بخش‌های زیرین رسوبات سازند ساچون گرهک‌های آهن دار مشاهده شد (تصویر ۷).

## ۱۱- نتیجه‌گیری

افت تند سطح آب دریا بعد از فعالیت کوهزاری لا رامید باعث پایان یافتن رسوب‌گذاری سازند تاربور و تمثیست رسوبات تبخیری-کربناته-آواری سازند ساچون شده است. بنابراین برخلاف آنچه که پیش از این بیان شده است، آغاز ته نشیست رسوبات سازند ساچون، در ماستریشتین نیست و به پس از کوهزاری لا رامید مربوط می‌شود.

در مطالعات سازند تاربور فسیل‌های *Lepidorbitoides*, *Loftusia minor*, *Omphalocyloides macroporous*, *Raphidioninurensis*, *Spirolina* sp. و در سازند جهرم فسیل‌های



تصویر ۵: -A- بلورهای دولومیت میکریتی (نور پلازیزه، نمونه شماره ۱۵ رخساره‌ی A5) -B- بانداستون اس-تروماتولیتی دولومیتی و قالب کانی‌های تبخیری - نور پلازیزه (Roxasarehی C)-(B)-Fسیل‌های فرامینیفر در رسوبات دولومیت‌های ریز بلور (نور پلازیزه، Roxasarehی C1، نمونه شماره ۱۳) : -D- فسیل‌های استراکت در رسوبات کربنات درشت بلور (نور طبیعی، Roxasarehی C1، نمونه شماره ۱۰) : -E- بلورهای دولومیت باشه‌دانه‌های نامشخص (نور طبیعی، Roxasarehی C1، نمونه شماره ۱۱) : -F- کربنات‌های کرم- خاکستری رخساره‌ی C1 درین شیل - مارن‌های خاکستری رخساره‌ی C2 و شیل و مارن‌های قمزرنگ محیط بالای مد: -G- شیل - مارن‌های خاکستری رنگ رخساره‌ی C2 در تاب بارخساره‌ی آهکی: -C1: فابریک لامینه‌ای در نمونه دستی (Roxasarehی C2: شبح‌های از اثید، پلوئید و اینتراکلست در زمینه‌ای از بلورهای دولومیت ثانویه (نور پلازیزه، Roxasarehی D، نمونه شماره ۱۴) : -J- انحلال باعث ازین رفن هسته داخلی اثید و ایجاد تخلخل قالبی شده است (نور طبیعی، Roxasarehی D، نمونه شماره ۱۴)

هم ارز با سازند ساچون و سازندهای هم ارز با سازند تاربور نیز گزارش شده است. برای نمونه مرز ناپیوسته‌ی بین سازند جهرم و سازند گوربی در بخش‌هایی از فارس ساحلی مشاهده شد و نشانگر خروج طولانی مدت نهشته‌ها از آب، فرسایش و نبود رسوب‌گذاری به دلیل عملکرد فاز کوه‌زایی لaramide است. پس از این مرز ناپیوسته، رسوبات سازند ساچون در زمان پائین بودن سطح جهانی آب‌ها نهشته شده‌اند. در برش کوه‌سیاه سروستان، در بخش‌های زیرین رسوبات سازند ساچون گرهک‌های آهن دار مشاهده شد که تأییدی بر خروج طولانی مدت رسوبات سازند تاربور از آب و پدید آمدن سطح فرسایشی بالای آن است. رسوبات گلی (شیل‌ها و مارن‌ها) از ارتفاعات زاگرس منشاً گرفته و در بخش شمال خاوری حوضه و در یک پلاتفرم رمپ نهشته شده‌اند.

### مراجع

آقاناتی، ع.، ۱۳۸۳، "زمین‌شناسی ایران"، سازمان زمین‌شناسی و اکتشافات معدنی کشور، ۵۸۶ ص.

افقه، م.، خسرو‌تهرانی، خ.، ۱۳۸۳، "مطالعه‌ی واحدهای سنگ چینه‌ای و محیط تشکیل سازند تاربور در شمال شرق و جنوب شرق شیراز"، مجله‌ی علوم پایه، دانشگاه آزاد اسلامی واحد علوم و تحقیقات تهران، شماره‌ی ۴۴۳۹: ۵۳-۴۴۰۹.

حسینی مرندی، ح.، ۱۳۷۳، "بیواستراتوگرافی رسوبات کرتاسه بالای جنوب شرق دریاچه‌ی بختگان (ناحیه‌ی خرامه)"، پایان‌نامه‌ی کارشناسی ارشد دانشگاه علوم اصفهان.

سید امامی، ک.، ۱۳۵۱، "کرتاسه‌ی بالای دریاچه‌ی ارومیه"، نشریه‌ی دانشکده‌ی فنی، دوره‌ی دوم، شماره‌ی ۷: ۲۲-۳۴.

صفری، ا.، ۱۳۸۴، "چینه‌نگاری زیستی، محیط رسوبی و چینه‌نگاری سکانسی سازند تاربور در زاگرس مرکزی (شهرکرد تا شیراز)", پایان‌نامه‌ی دکتری زمین‌شناسی، دانشکده‌ی علوم، دانشگاه اصفهان.

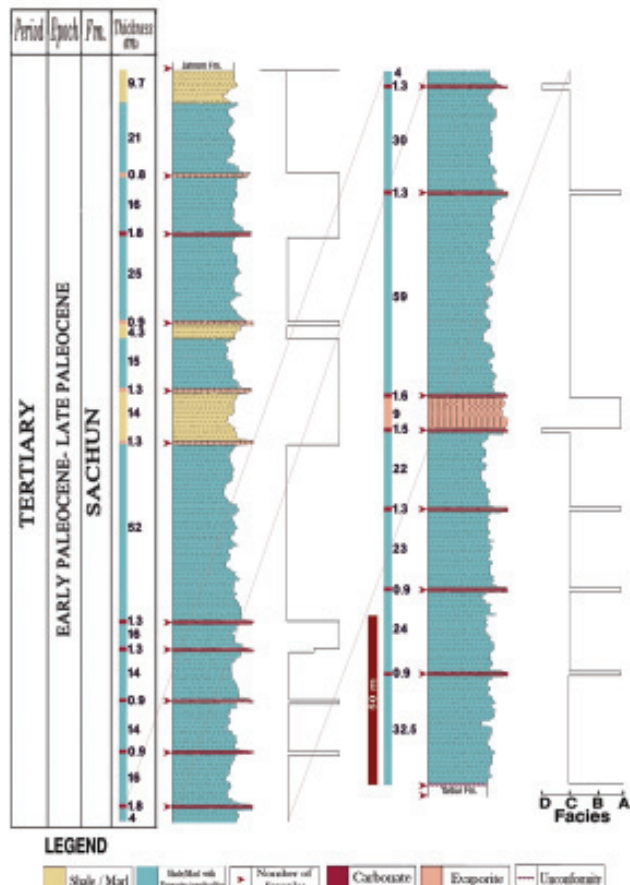
لاسمی، ی.، ۱۳۷۹، "رخساره‌ها، محیط‌های رسوبی و چینه‌نگاری سکانسی نهشته سنگ‌های برکامبرین بالای و پالئوزوئیک ایران"، سازمان زمین‌شناسی و اکتشافات معدنی کشور، ۱۶۰ ص.

لاسمی، ی.، مهاری، ر.، ۱۳۷۲، "میکروفاسیس‌ها و محیط رسوبی سازند مبارک در خاور تهران"، نشریه‌ی علوم دانشگاه تربیت معلم، جلد ۵، شماره‌های ۱ و ۲: ۸۶-۷۶. مهاری، ر.، ۱۳۷۰، "پترولزی، میکروفاسیس و محیط‌های رسوبی سازند مبارک (در خاور تهران)", رساله‌ی کارشناسی ارشد دانشگاه آزاد اسلامی، ۱۲۳ ص.

**Burchette, T. P., Wright, W. P. & Faulkner, T. J., 1990,**  
"Oolitic sand-body deposition models and geometries, Mississippian of southwest Britain: Implications for petroleum exploration in carbonate ramp settings", *Sed. Geol.*, Vol. 68: 87-115.

**Carozzi, A. V., 1989,** "Carbonate rock depositional model", Prentice Hall, New Jersey, 604 p.

**Clark, D. N. & Talbaka, L., 1980,** "The Zechstein deposits of southern Denmark", *Contr. Sed.*, Vol. 9: 205-231.



تصویر ۶- ستون چینه‌شناسی و نمودار تغییرات عمودی رخساره‌ها و ژرفای نسبی آن‌ها (سازند ساچون در برش کوه)



تصویر ۷- قله‌های آهن دار در مرز پایینی سازند ساچون

مشاهده شدند.

فسیل‌های سازند تاربور سن پالئوسن بالای و فسیل‌های سازند جهرم سن پالئوسن پایینی را تأیید می‌کنند. وجود فسیل‌های شاخص ماستریشتین به دلیل فرسایش سنگ‌های کرتاسه و حمل آن‌ها به محیط رسوبی سازند ساچون است. ناپیوستگی مرز بین سازندهای ساچون و تاربور به دلیل عملکرد فاز کوه‌زایی لaramide پدید آمده است. این ناپیوستگی بین سازندهای

- in shallow epicontinental sea, (Ed.: R. H. Purser), Springer-Verlag, Berlin: 211-231.*
- Sandberg, P.A., 1983,** "An oscillating trend in Phanerozoic non-skeletal carbonate mineralogy", *Nature*, Vol. 305: 19-22.
- Sellwood, B. W., 1991,** "Shallow-marine carbonate environments", In: *Sedimentary environments and facies*, (Ed.: H. G. Reading, 688p) Blackwell Scientific Publications, p: 283-342.
- Shinn, E. A., 1968,** "Practical significance of birdseye structures in carbonate rocks", *J. Sed. Petrology*, Vol. 53: 619-629.
- Shinn, E. A., 1983,** "Tidal flat environment", In: *Carbonate depositional environments* (Eds.: P. A., Scholle, D. G., Bebout & C. H., Moore), A.A.P.G Tulsa, Oklahoma, U.S.A., Vol. 33: 171-210.
- Schlager, W. & Bolz, H., 1977,** "Clastic accumulation of sulphate evaporites in deep water", *J. Sed. Res.*, Vol. 47 (2): 600-609.
- Tucker, M. E. & Wright, V. P., 1990,** "Carbonate Sedimentology", Blackwell, Oxford, 482 p.
- Vail, P. R., Mitchum, R. M. & Thompson, S., 1977,** "Seismic Stratigraphy and global changes of sea level", Part 4: global cycles of relative changes of sea level. In: *Seismic stratigraphy, applications to hydrocarbon exploration* (Ed.: C. E. Payton), AAPG (American Association of Petroleum Geologists), Memoir, Vol. 26: 63-82.
- Walther, J., 1893,** "Einleitung in die Geologie als historische Wissenschaft", Fisher Verlag, Jena. 1055 pp.
- Warren, J. K., 1989,** "Evaporite sedimentology", University of Texas at Austin, 285p.
- Wright, V. P. & Burchette, T. P., 1996,** "Shallow-water carbonate environments", In: *Sedimentary environments: processes, facies and stratigraphy*, (Ed.: H. G. Reading), Blackwell Science, Oxford: 325-394
- Demicco, R. V. & Hardie, L. A., 1995,** "Sedimentary structure and early diagenetic features of shallow marine carbonate deposits", *Atlas Series 1, AAPG Tulsa, OK*, 256 p.
- Dill, R. F., Shinn, E. A., Jones, A. T., Kelly, k. & Steinen, R. P., 1986,** "Giant subtidal stromatolites forming in normal salinity waters", *Nature*, Vol. 324: 55-58.
- Flügel, E., 2004,** "Microfacies of carbonate rocks", *Analysis, Interpretation and Application*, Springer, 796 p.
- Greensmith, J. T., 1989,** "Petrology of sedimentary rocks", University College, University of London, 262 p.
- Haq, B. U., Hardenbol, J. & Vail, P. R., 1988,** "Mesozoic and Cenozoic chronostratigraphy and cycles of sea level changes", In: Wilgus, C. K., Hastings, B. J., Posamentier, H., van Wagoner, J. C., Ross, C. A. & Kendall, C. G. St. C. (Eds.), *Sea level changes: an integrated approach: Society of Economic Paleontologists and Mineralogists Special Publication*, Vol. 42: 71-108.
- James, G. A. & Wynd, J. G., 1965,** "Stratigraphic nomenclature of Iranian oil consortium agreement area", *AAPG Bull.*, Vol. 49: 2182-2245.
- Kalantari, A., 1976,** "Microbiostratigraphy of the Sarvestan area, SW Iran", *N.I.O.C Geological laboratories publications*, 52 plates, 128 p.
- Kendall, A. C., 1984,** "Evaporites", In: Walker, R.G, Ed., and Facies models, 2nd Edition: *Geosci. Can., Reprint Series 1*: 259-296.
- Lasemi, Z., Boardman, M. R. & Sandberg, P. A., 1989,** "Cement origin of supratidal dolomite, Andros Island, Bahamas", *J. Sed. Pet.*, Vol. 59: 249-257.
- Lasemi, Y., 1995,** "Platform carbonates of the Upper Jurassic Mozdouran Formation in the Kopet Dagh basin, NE Iran-facies, paleoenvironments and sequences", *Sed. Geol.*, Vol. 99: 151-164.
- Lasemi, Y. & Carrozzi, A. V., 1981,** "Carbonate microfacies and depositional environments of the Kinkaid Formation (Upper Mississippian) of the Illinois Basin", USA, *VIII Congress Geol. Argentino, Sanluis, Acta SII*: 358-384.
- Logan, B. W., 1987,** "Modern carbonate and evaporate sediments of Shark Bay and Lake Macleod, Western Australia", *Geological Society of Australia, Field Excursion guide book, 5<sup>th</sup> Australian convention*, 64 p.
- Mastandrea, A., Perri, E., Russ, F., Spadafora, A. & Tucker, M., 2006,** "Microbial primary dolomite from a Norian carbonate platform: Northern Calabria, Southern Italy", *Sedimentology*, Vol. 53: 465-480.
- Purser, R. H., 1973,** "The Persian Gulf Holocene carbonate sedimentation and diagenesis in a shallow epicontinental seas", Springer-Verlag, Berlin-Heidelberg, New York, 471 p.
- Purser, R. H. & Evans, G., 1973,** "Regional sedimentation along the Trucial Coast, SE Persian Gulf", In: *The Persian Gulf. Holocene carbonate sedimentation and diagenesis*